



Parallélisation par l'intermédiaire d'une fenêtre à mémoire partagée (MPI 3.0) : application à un code de mécanique des fluides

1. Contexte et objectifs
2. Méthode RMA
3. Résultats

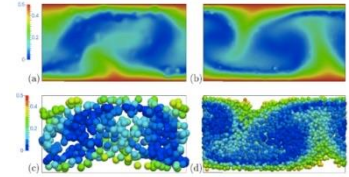
Elyakime P. – Beauvillier M.

JCAD 2023, 3 Octobre 2023

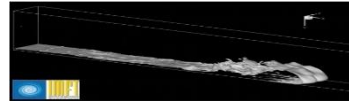
1.1 - JADIM

Code de calcul volumes finis du 2nd ordre @IMFT et @LGC

- Ecoulements instationnaires de fluides incompressibles
- Maillages structurés cartésiens ou curvilignes 2D-3D
- Fortran 90/95 parallélisé hybride MPI-GP-GPU



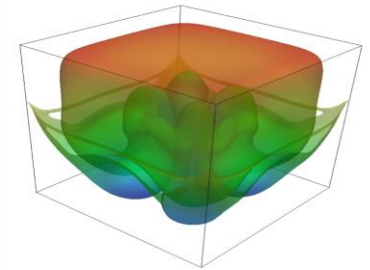
Inertial finite-size particles in turbulent Couette flow (Force Coupling Method). G. Wang.



Gravity current. Y. Hallez

Modules physiques :

- Multiphasique par une approche de type Volume Of Fluid ou Level-set
- IBM : Ecoulement autour d'objets (Immersed Boundary Method)
- LES (Large Eddy Simulation)
- Transfert thermique
- Réaction chimique, ...



Crustal polydiapirs
(Convection dans la croûte terrestre)
A. Louis-Napoléon

1.2 - Méthode de projection & temps de calcul



CPU

- Calcul de l'avancement en temps (schéma de Runge-Kutta / Crank-Nicolson)

$$\frac{\hat{V}_i^{n+1} - V_i^n}{\Delta t} \mathfrak{G} = - \left(\frac{1}{\rho} \frac{\partial P}{\partial \xi_i} \right)^n \mathfrak{G} + \text{Gravité} + \text{Advection} + \text{Diffusion} + \text{Effets capillaires}$$

CPU/GPU

- Résolution d'un **système linéaire** (pseudo-équation de Poisson)

$$\frac{1}{\Delta t} \nabla \cdot \hat{V}^{n+1} = \nabla \cdot \left(\frac{1}{\rho} \nabla \Phi \right)$$

Solveurs : PETSc, Mumps, Fourier [MPI] AmgX [GP-GPU]

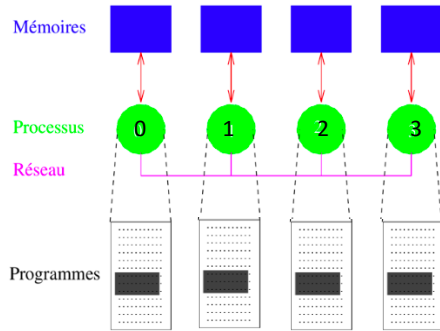
CPU

- Mise à jour de la vitesse et de la pression

$$\frac{V_i^{n+1} - \hat{V}_i^{n+1}}{\Delta t} = - \frac{1}{\rho} \frac{\partial \Phi}{\partial \xi_i} \quad P^{n+1} = P^n + \Phi$$

1.3 – Parallélisation de JADIM

La parallélisation de JADIM se base sur la technique à mémoire distribuée (SPMD)



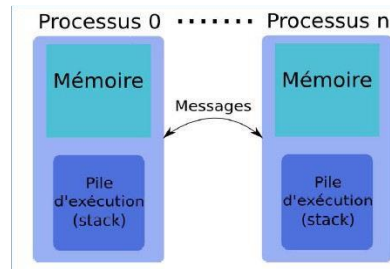
- Chaque processus a sa propre mémoire
- Plusieurs processus exécutent le programme sur des sous domaines MPI du maillage
- Echanges des données entre les processus via des appels utilisant la bibliothèque MPI

Calcul parallèle à mémoire distribuée

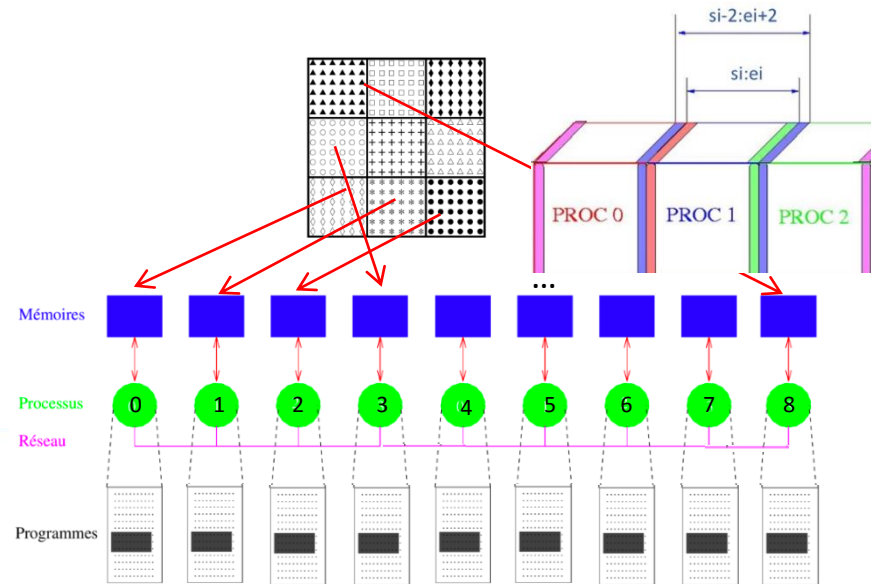
Schéma de la programmation parallèle (Idris)

1.3 – Parallélisation de JADIM

1. Définition de la distribution de la mémoire en discrétisant le domaine : chaque processus construit les bornes de son sous domaine
2. Les variables des sous domaines sont stockés dans la mémoire privée de chacun des processus
3. Les processus MPI calculent une partie du programme sur son sous domaine en utilisant les données des variables de ce sous domaine
4. Les processus MPI échangent les données



```
$ mpirun -np 9 ./jadimles.exe 3 3 1
```



1.4 – Mémoire & Parallélisation

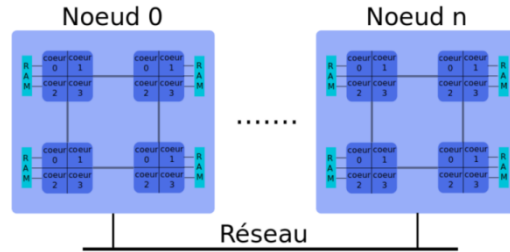


Schéma d'un supercalculateur (Idris)

Variable parallélisée : les données sont distribuées à tous les proc. MPI

Variable non parallélisée : proc. MPI possèdent la variable sur tout le domaine

ex: un code lancé sur 2 nœuds de calcul et 32 processus MPI par nœud aura donc 32 fois une variable sur tous les points du maillage en mémoire

1.5 – JADIM : mémoire non parallélisée

Tableau	Dimension	Mémoire (512 ³)	Mémoire (1024 ³)
nfa	$(n_x + 2) \times (n_y + 2) \times (n_z/N_z + 2) \times 4 \times 4$ bits	4,19 x $(n_z/N_z + 2)$ MB = 0,54 GB *	16,8 x $(n_z/N_z + 2)$ MB = 4,3 GB *
coor	$(n_x + 2) \times (n_y + 2) \times 8 \times 8$ bits	16,9 MB	67,4 MB
area	$(n_x + 2) \times (n_y + 2) \times 16 \times 8$ bits	33,8 MB	135 MB
dist	$(n_x + 6) \times (n_y + 6) \times 16 \times 8$ bits	23,6 MB	94,5MB
curvn	$(n_x + 2) \times (n_y + 2) \times 6 \times 8$ bits	17,2 MB	50,5 MB
curv	$(n_x + 2) \times (n_y + 2) \times 20 \times 8$ bits	42,3 MB	168 MB
fac	$((2 \times n_x + 2 \times n_y) \times n_z + 1) \times 7 \times 4$ bits	29,1 MB	117 MB
fac1	$((2 \times n_x + 2 \times n_y) \times n_z + 1) \times 3 \times 4$ bits	12,5 MB	50,1 MB
tang	$((2 \times n_x + 2 \times n_y) \times n_z + 1) \times 4 \times 8$ bits	33,2 MB	133,8 MB
IJP	$(n_x + 6) \times (n_y + 6) \times 4$ bits	1,07 MB	4,23 MB
<u>Total</u> *		23,9 GB	164 GB

* Pour 1 nœud de calcul avec 32 cœurs et une décomposition par $N_z=4$ dans la direction Z

1.6 – Objectif de l'étude

Problème

Consommation de la mémoire des variables non parallélisées trop importante

1.6 – Objectif de l'étude

Problème

Consommation de la mémoire des variables non parallélisées trop importante

Solutions



Dépeupler les nœuds de calculs => perte en efficacité de calcul

1.6 – Objectif de l'étude

Problème

Consommation de la mémoire des variables non parallélisées trop importante

Solutions



Dépeupler les nœuds de calculs => perte en efficacité de calcul

Parallélisation à mémoire distribuée des variables => modification de tout le code

1.6 – Objectif de l'étude

Problème

Consommation de la mémoire des variables non parallélisées trop importante

Solutions



Dépeupler les nœuds de calculs => perte en efficacité de calcul



Parallélisation à mémoire distribuée des variables => modification de tout le code



Partager une zone mémoire à l'ensemble des processus au sein d'un même nœud

1.6 – Objectif de l'étude

Problème

Consommation de la mémoire des variables non parallélisées trop importante

Solutions



Dépeupler les nœuds de calcul => perte en efficacité de calcul



Parallélisation à mémoire distribuée des variables => modification de tout le code



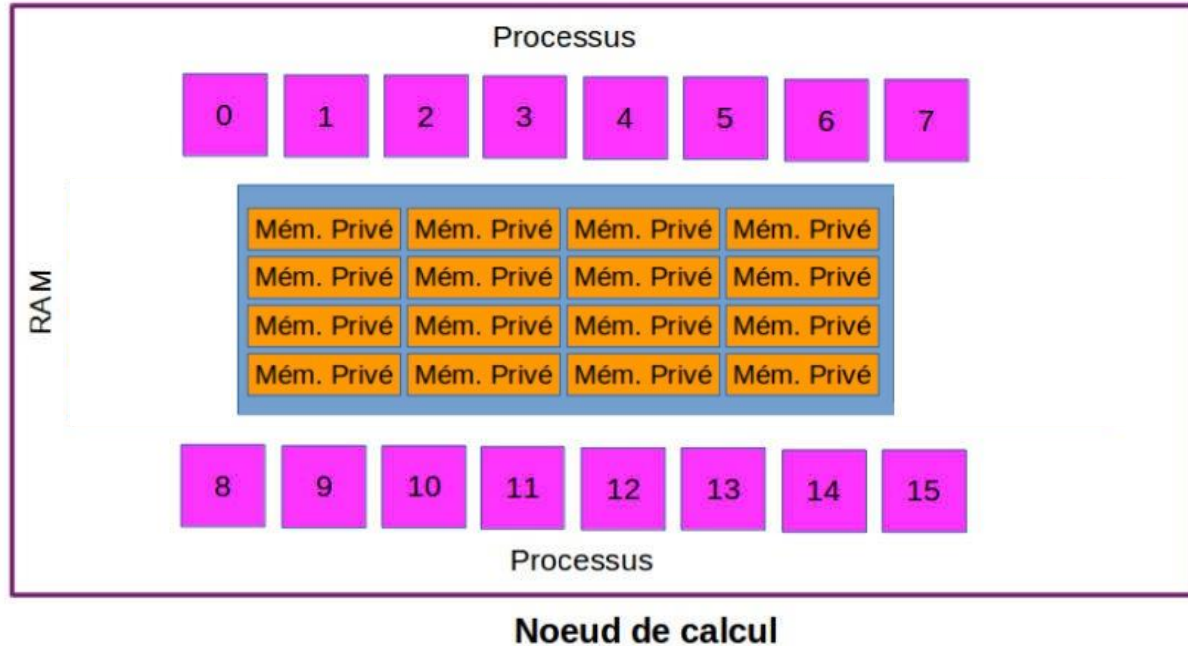
Partager une zone mémoire à l'ensemble des processus au sein d'un même nœud

Comment faire ?

Utiliser une nouvelle approche de programmation introduite dans la norme **MPI 3.0** nommée **Remote Memory Access (RMA)** avec la fenêtre à mémoire partagée

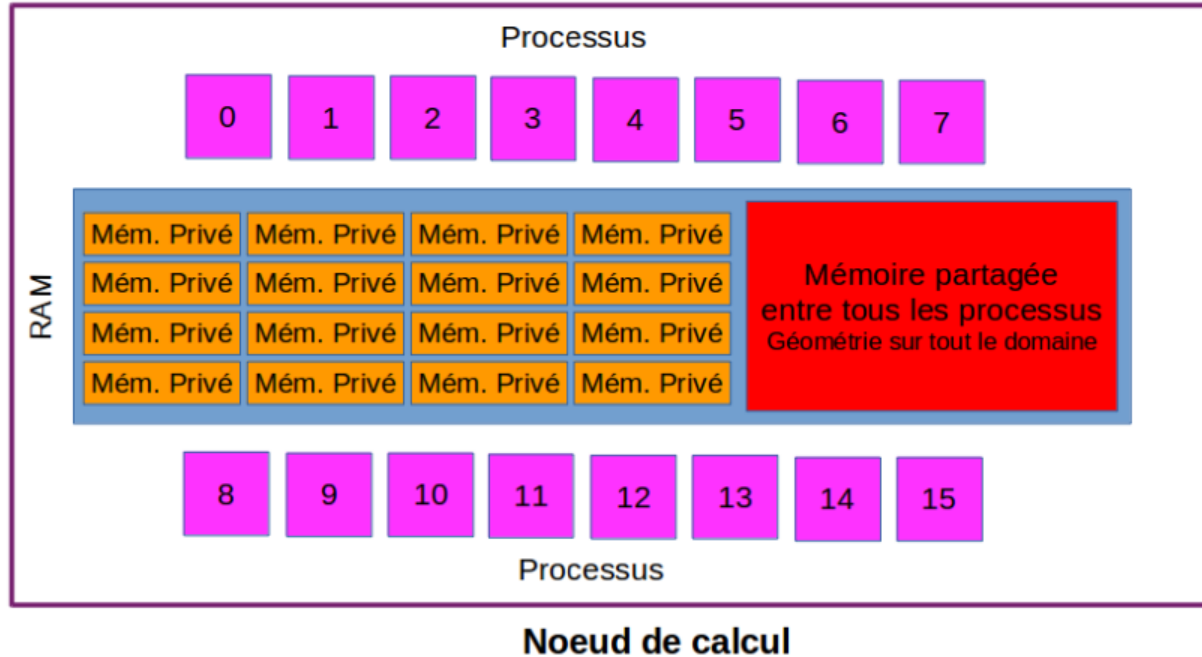
2. La méthode RMA

2.1 – Approche avec la méthode RMA



Mémoire privée uniquement

2.1 – Approche avec la méthode RMA

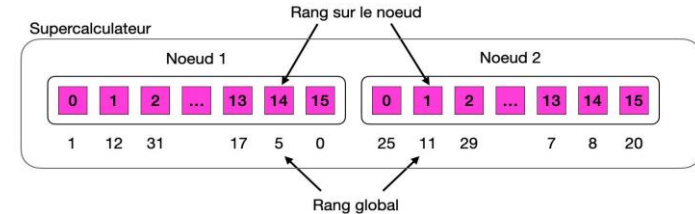


Mémoire privée + partagée

2.2 – Implémentation dans le code JADIM

1- Construction du communicateur sur les noeuds

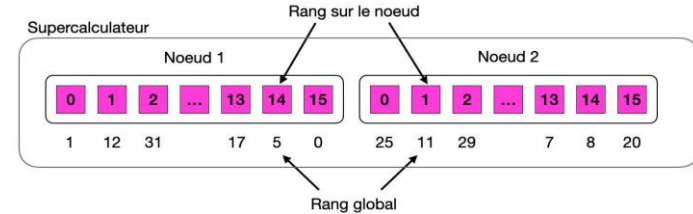
```
!For RMA  
call MPI_COMM_SPLIT_TYPE(MPI_COMM_WORLD, MPI_COMM_TYPE_SHARED, &  
                          t_p, mpiinfo, mpi_comm_node, mpierr)  
call MPI_COMM_RANK(mpi_comm_node, t_p_node, mpierr)  
call MPI_COMM_SIZE(mpi_comm_node, nb_procs_node, mpierr)
```



2.2 – Implémentation dans le code JADIM

1- Construction du communicateur sur les noeuds

```
!For RMA
call MPI_COMM_SPLIT_TYPE(mpi_comm_world, MPI_COMM_TYPE_SHARED,&
                        t_p, mpiinfo, mpi_comm_node, mpierr)
call MPI_COMM_RANK(mpi_comm_node, t_p_node, mpierr)
call MPI_COMM_SIZE(mpi_comm_node, nb_procs_node, mpierr)
```

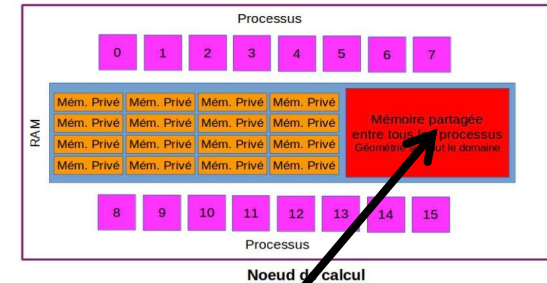


2- Construction de la fenêtre mémoire et accès à cette fenêtre

```
! Definition of the windows size
size_mem_coor=0_MPI_ADDRESS_KIND
if (t_p_node==0) size_mem_coor=int((nx+2)*(ny+2), &
                                MPI_ADDRESS_KIND)*64_MPI_ADDRESS_KIND ! 8*8

! Allocation of the memory window.
call MPI_WIN_ALLOCATE_SHARED(size_mem_coor,1,MPI_INFO_NULL, &
                             mpi_comm_node,baseptr_coor,win_coor,mpierr)

! Other processes query access to the memory window of t_p_node==0
if (t_p_node /= 0) call MPI_win_shared_query(win_coor, 0, &
                                             size_mem_coor, disp_unit,baseptr_coor,mpierr)
```

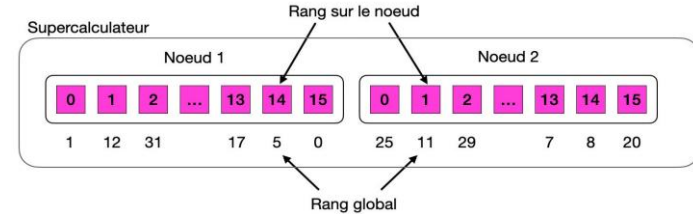


nfa, coor, dist, area, curvn, curv,
fac, facl, tang, ijp

2.2 – Implémentation dans le code JADIM

1- Construction du communicateur sur les noeuds

```
!For RMA
call MPI_COMM_SPLIT_TYPE(mpi_comm_world, MPI_COMM_TYPE_SHARED,&
                        t_p, mpiinfo, mpi_comm_node, mpierr)
call MPI_COMM_RANK(mpi_comm_node, t_p_node, mpierr)
call MPI_COMM_SIZE(mpi_comm_node, nb_procs_node, mpierr)
```

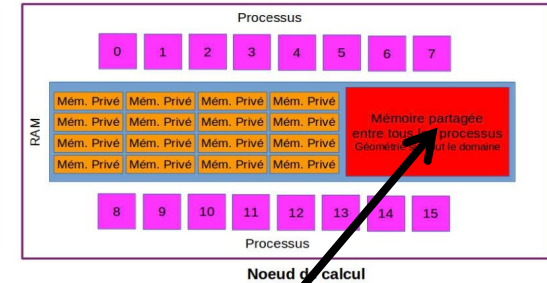


2- Construction de la fenêtre mémoire et accès à cette fenêtre

```
! Definition of the windows size
size_mem_coor=0_MPI_ADDRESS_KIND
if (t_p_node==0) size_mem_coor=int((nx+2)*(ny+2), &
                                MPI_ADDRESS_KIND)*64_MPI_ADDRESS_KIND ! 8*8

! Allocation of the memory window.
call MPI_WIN_ALLOCATE_SHARED(size_mem_coor,1,MPI_INFO_NULL, &
                             mpi_comm_node,baseptr_coor,win_coor,mpierr)

! Other processes query access to the memory window of t_p_node==0
if (t_p_node /= 0) call MPI_win_shared_query(win_coor, 0, &
                                             size_mem_coor, disp_unit,baseptr_coor,mpierr)
```

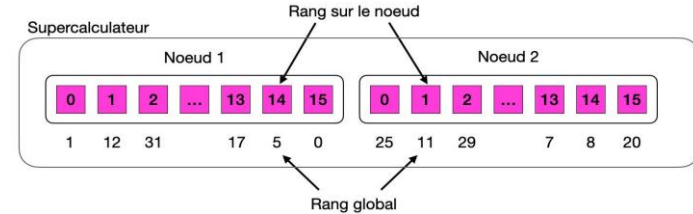


nfa, coor, dist, area, curv, curv,
fac, fac, tang, ijp

2.2 – Implémentation dans le code JADIM

1- Construction du communicateur sur les noeuds

```
!For RMA
call MPI_COMM_SPLIT_TYPE(mpi_comm_world, MPI_COMM_TYPE_SHARED,&
                        t_p, mpiinfo, mpi_comm_node, mpierr)
call MPI_COMM_RANK(mpi_comm_node, t_p_node, mpierr)
call MPI_COMM_SIZE(mpi_comm_node, nb_procs_node, mpierr)
```

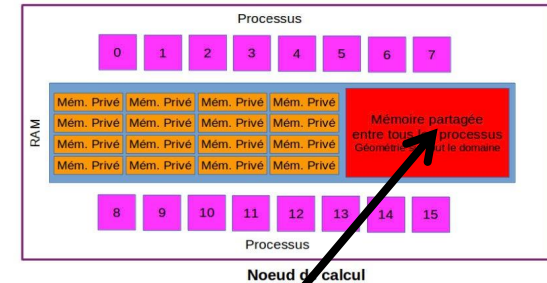


2- Construction de la fenêtre mémoire et accès à cette fenêtre

```
! Definition of the windows size
size_mem_coor=0_MPI_ADDRESS_KIND
if (t_p_node==0) size_mem_coor=int((nx+2)*(ny+2), &
                                MPI_ADDRESS_KIND)*64_MPI_ADDRESS_KIND ! 8*8

! Allocation of the memory window.
call MPI_WIN_ALLOCATE_SHARED(size_mem_coor,1,MPI_INFO_NULL, &
                             mpi_comm_node,baseptr_coor,win_coor,mpierr)

! Other processes query access to the memory window of t_p_node==0
if (t_p_node /= 0) call MPI_win_shared_query(win_coor, 0, &
                                             size_mem_coor,disp_unit,baseptr_coor,mpierr)
```



nfa, coor, dist, area, curvn, curv,
fac, fac1, tang, ijp

2.2 – Implémentation dans le code JADIM

3 - Transformation d'un pointeur C en un tableau Fortran

```
! Transformation of the C pointer to a fortran array  
allocate(arrayshape(2)); arrayshape=(/ nx+2,ny+2 /)  
CALL C_F_pointer(baseptr_coor,coor_tmp,arrayshape)  
  
! Reshaping of the Fortran to beginning  
! at the correct position  
coor(0:,0:) => coor_tmp
```

2.2 – Implémentation dans le code JADIM

3 - Transformation d'un pointeur C en un tableau Fortran

```
! Transformation of the C pointer to a fortran array
allocate(arrayshape(2)); arrayshape=(/ nx+2,ny+2 /)
CAL C_F_pointer(baseptr_coor,coor_tmp,arrayshape)

! Reshaping of the Fortran to beginning
! at the correct position
coor(0:,0:) => coor_tmp
```

2.2 – Implémentation dans le code JADIM

3 - Transformation d'un pointeur C en un tableau Fortran

```
! Transformation of the C pointer to a fortran array
allocate(arrayshape(2)); arrayshape=(/ nx+2,ny+2 /)
CALL C_F_pointer(baseptr_coor,coor_tmp,arrayshape)

! Reshaping of the Fortran to beginning
! at the correct position
coor(0:,0:) => coor_tmp
```

4 – Modification du tableau

```
! Fill coor%x array
if (t_p_node == 0 ) then
    coor(i,j)%x = xc1(nfa(i,j,2,2))
endif
```



coor est rempli exclusivement par le processus 0 du nœud

3. Les résultats

3.1 – Les résultats

Présentation du supercalculateur Olympe de CALMIP



Supercalculateur OLYMPE
[site:<https://www.calmip.univ-toulouse.fr/>]

Deux partitions CPU

- 360 nœuds bi-socket (2 sockets de 18 cœurs)
 - 192 Go de mémoire par nœud
- 2 nœuds de large mémoire (1 socket de 18 cœurs)
 - 750 Go de mémoire par nœud

« nœud »

« mesca »

Une partition GP-GPU:

- 12 nœuds GPU (2 sockets de 18 cœurs + 4 cartes GPU)
 - 377 Go de mémoire par nœud

« volta »

3.2 – Maillage maximum

Configuration des tests :

Cas test : diphasique (VoF) – dynamique d'une BULLE animée par de la gravité

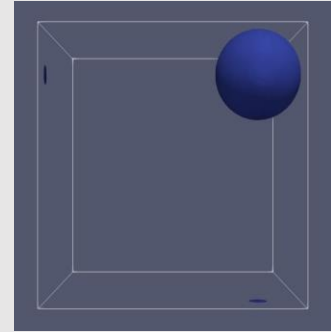
Maillage : cartésien orthogonal régulier

Condition aux limites : périodiques

JADIM version « RMA » vs JADIM version « master »

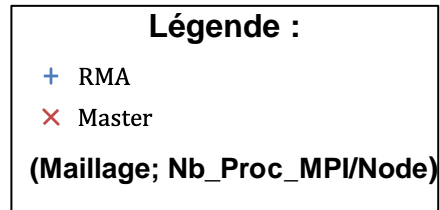
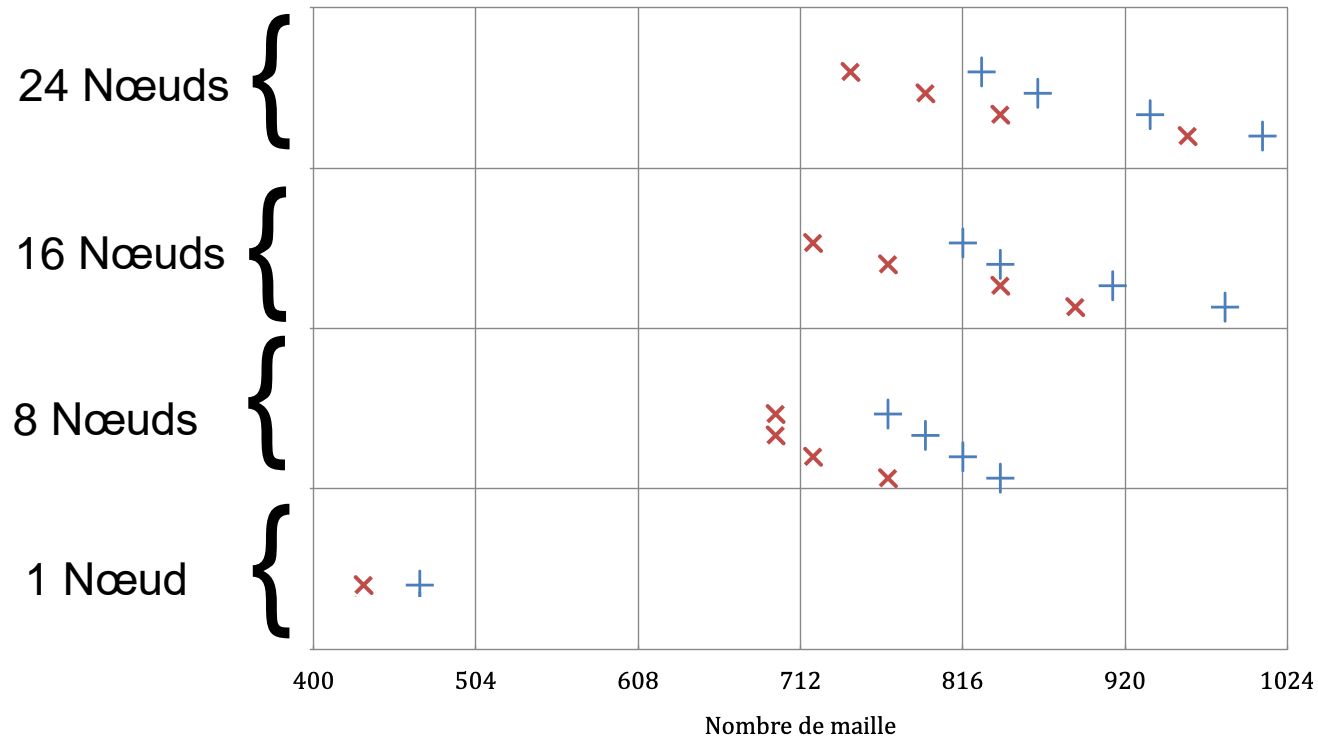
Nombre de processus : 1 Node, 8 Nodes, 16 Nodes, 24 Nodes

Simulation sur **2 pas de temps**



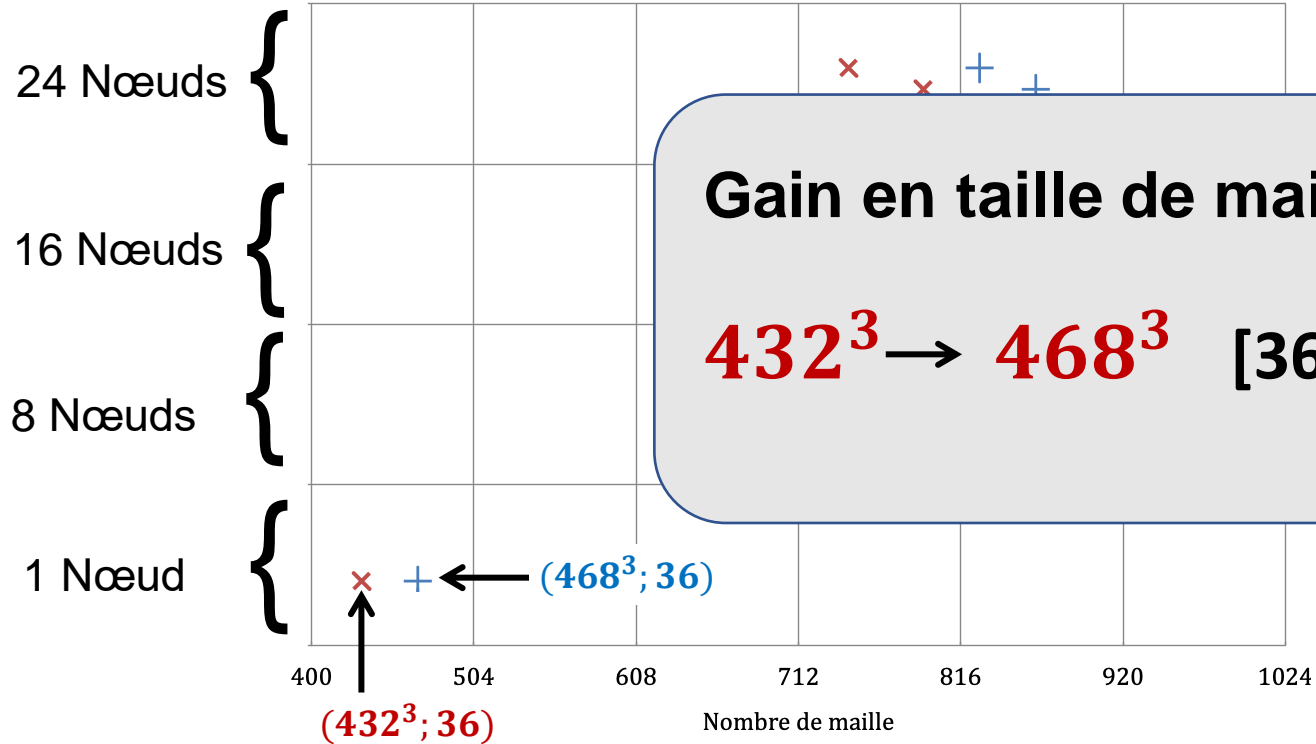
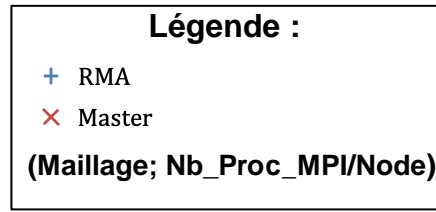
- Recherche du maillage de taille maximum

3.2 – Maillage maximum



Evolution de la taille de maillage maximum

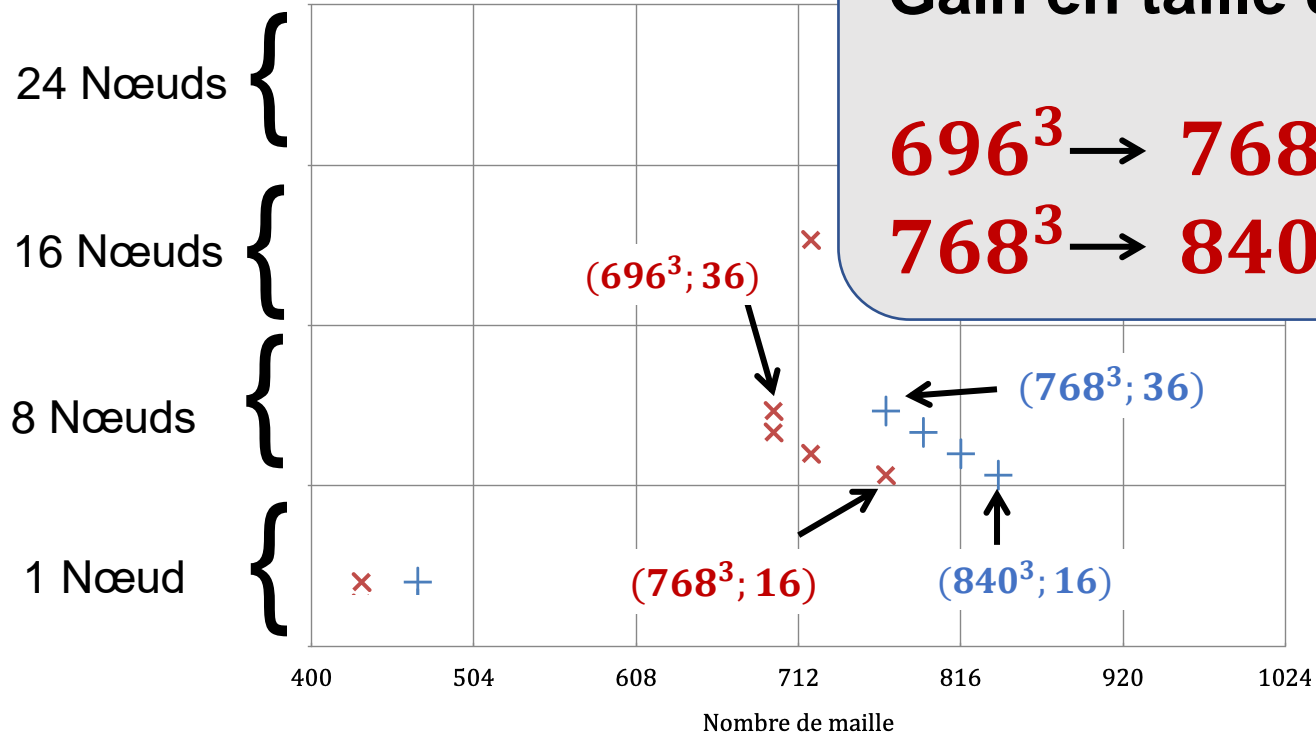
3.2 – Maillage maximum



Evolution de la taille de maillage maximum

3.2 – Maillage maximum

Légende :

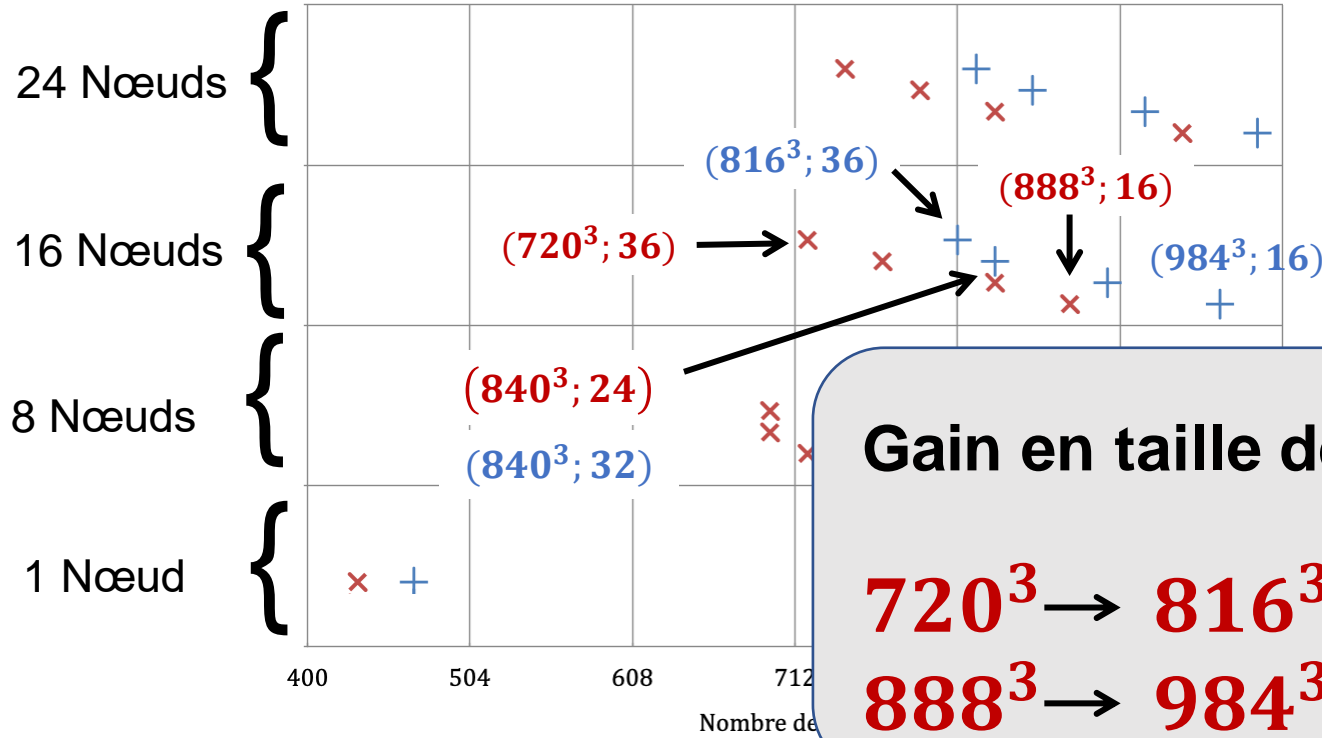


3.2 – Maillage maximum

Légende :

- + RMA
- × Master

(Maillage; Nb_Proc_MPI/Node)



Gain en taille de maillage:

720³ → 816³ [36 cores]

888³ → 984³ [16 cores]

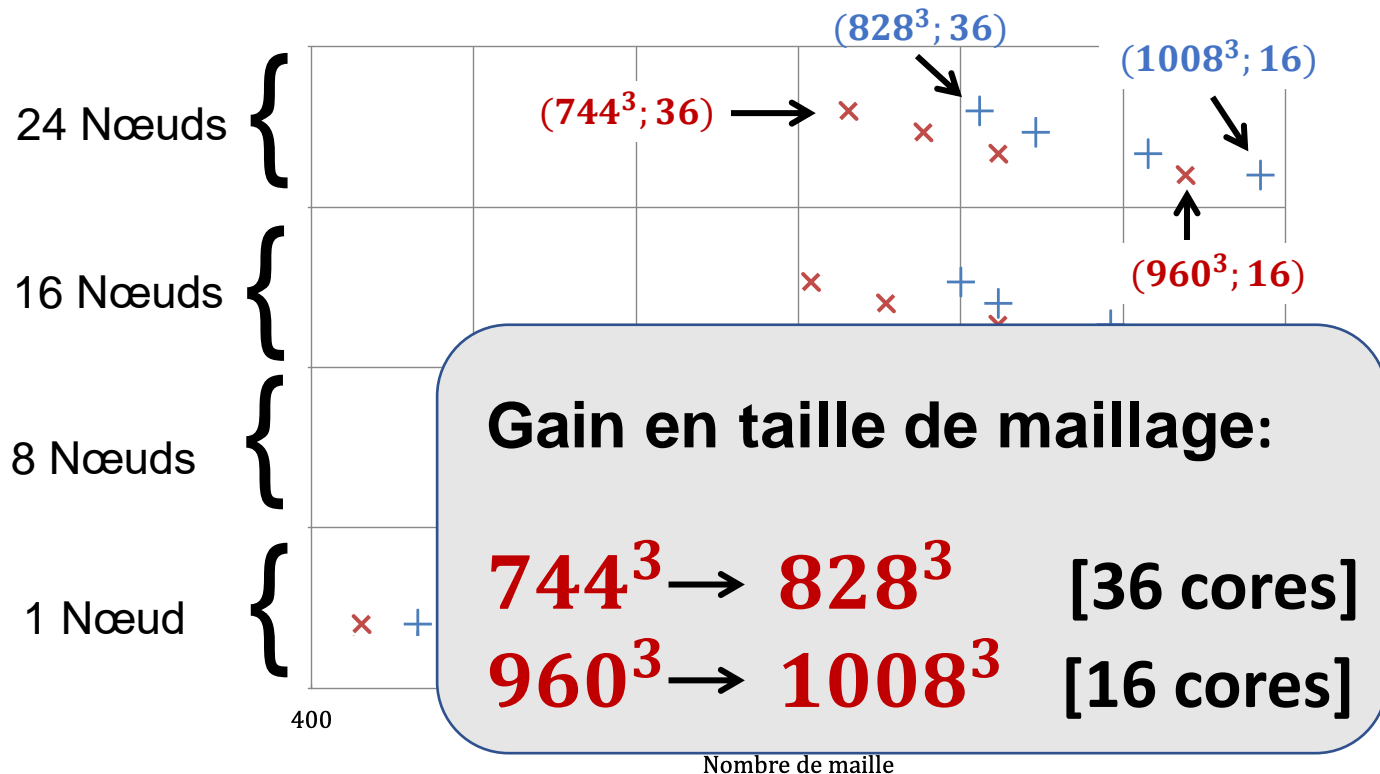
Evolution de la taille de maillage maximum

3.2 – Maillage maximum

Légende :

- + RMA
- × Master

(Maillage; Nb_Proc_MPI/Node)



Evolution de la taille de maillage maximum

3.3 – Gain en mémoire et en temps de calcul

Configuration des tests :

Cas test : diphasique (VoF) - dynamique d'une BULLE animée par de la gravité

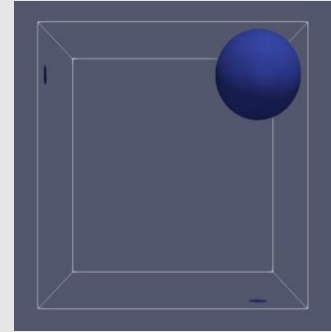
Maillage : cartésien orthogonal régulier

Condition aux limites : périodiques

JADIM version « RMA » vs JADIM version « master »

Nombre de processus : 1 Node, 8 Nodes, 16 Nodes, 24 Nodes

Simulation sur **2 pas de temps**



- **Mesure du gain en mémoire et en temps de calcul sur maillage de même taille**

3.3 – Gain en mémoire

RMA

1 Nœud
36 Processus

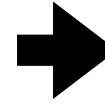


Maillage 432³:

119 Go

MASTER

144 Go



Gain en mémoire :
18%

3.3 – Gain en mémoire

RMA

1 Nœud
36 Processus



Maillage 432³:

119 Go

8 Nœuds
36 Processus

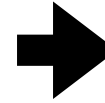


Maillage 696³:

101 Go

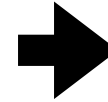
MASTER

144 Go



Gain en mémoire :
18%

137 Go



Gain en mémoire :
26%

3.3 – Gain en mémoire

	RMA	MASTER	
1 Nœud 36 Processus	Maillage 432³: 119 Go	144 Go	Gain en mémoire : 18%
8 Nœuds 36 Processus	Maillage 696³: 101 Go	137 Go	Gain en mémoire : 26%
16 Nœuds 36 Processus	Maillage 720³: 85 Go	125 Go	Gain en mémoire : 32%

3.3 – Gain en mémoire

	RMA	MASTER	
1 Nœud 36 Processus	Maillage 432³: 119 Go	144 Go	➔ Gain en mémoire : 18%
8 Nœuds 36 Processus	Maillage 696³: 101 Go	137 Go	➔ Gain en mémoire : 26%
16 Nœuds 36 Processus	Maillage 720³: 85 Go	125 Go	➔ Gain en mémoire : 32%
24 Nœuds 36 Processus	Maillage 720³: 75 Go	115 Go	➔ Gain en mémoire : 35%

3.3 – Gain en temps de calcul

RMA

MASTER

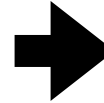
8 Nœuds



Maillage 768³:

36 cœurs
412 sec

16 cœurs
1300 sec



**Gain en temps :
x 3.55**

3.3 – Gain en temps de calcul

RMA

MASTER

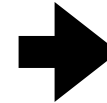
8 Nœuds



Maillage 768³:

36 cœurs
412 sec

16 cœurs
1300 sec



**Gain en temps :
x 3.55**

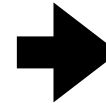
16 Nœuds



Maillage 840³:

32 cœurs
424 sec

24 cœurs
793 sec



**Gain en temps :
x 1.87**

3.4 – Validation des modules physiques

Comparaison des solutions physiques CPU « sans RMA » vs CPU « avec RMA » :
JADIM+Intel+PETSc

Module(s) associé(s)	Cas testés	Maillage	Solveur de Pression sous CPU
IBM	IBM_SEDIMENTATION	128 ³	PETSc
Diphasique VOF	BULLE_3D	128 ³	PETSc
Diphasique Level-set	PARASITE_3D	216 ³	PETSc
Turbulence LES	CANAL	128 ³	PETSc
LES+Thermique	CANAL2_THERM	128 ³	PETSc
IBM+DEM	RBD_3D_VOF	160 ³	PETSc

Conclusion

- Adapter la fonctionnalité de fenêtre à mémoire partagée de la norme MPI 3.0 à notre besoin de diminution de la mémoire
- Implémenter cette technique dans le code JADIM
- Valider cette parallélisation à de nombreux modules physiques du code
- **Diminution de la mémoire** consommée par JADIM d'environ **35%** pour maillage de 720^3
- **Gain en temps de calcul** de **3,155** sur 8 nœuds grâce au repeuplage des noeuds

Remerciements

Merci **@Team CALMIP** pour les heures de calculs sur le projet p19046

Merci **@Romain Casta, @Annaïg Pedrono** pour avoir initié ce travail

Merci **@Maxime Beauvillier** pour le stage qui a fourni les résultats